

Měření vzdálenosti
Protokol z předmětu B3M38ASE

Filip Dašek

23. března 2024

1 Vyzařovací úhel

Vyzařovací úhel byl měřen ve třech vzdálenostech $x = 20, 25$ a 30 cm. Nejdříve byl nalezen čas t po který byla pozorována pojezdna odrazová plocha v dané vzdálenosti. Poté pomocí jednoduchého trojúhelníku lze psát:

$$\varphi_{FOV} = 2 \arctan \left(\frac{t v - x_{target}}{x} \right),$$

kde v je rychlost odrazové plochy a x_{target} je její šířka. Měření času t probíhalo jak v jednom, tak i v druhém směru pojezdu a výsledky byly zprůměrovány. Výsledky jsou v tabulce ??.

Vzdálenost x [cm]	20	25	30
Lidar φ_{FOV} [°]			
Ultrazvuk φ_{FOV} [°]			

Tabulka 1: Naměřené hodnoty k experimentu s termočlánekem

Grafické znázornění plynoucí z naměřených hodnot lze vidět na obrázku ??.



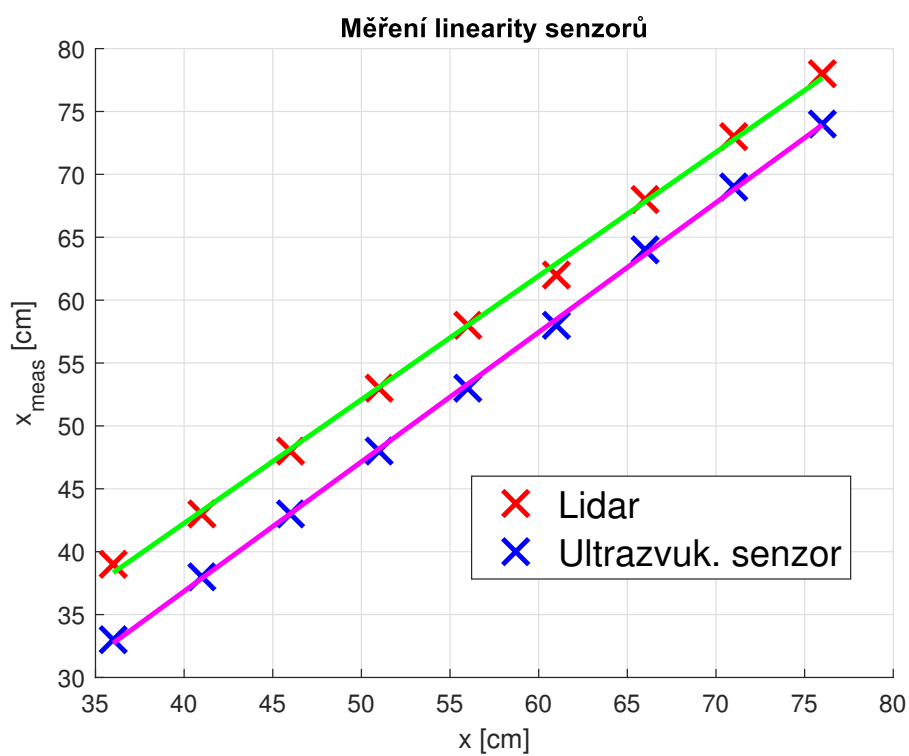
Obrázek 1: Grafické znázornění naměřených vyzařovacích úhlů

2 Linearita

Linearita byla proměřena pro vzdálenosti x od 36 do 76 cm po 5 cm (tedy 9 hodnot). Porovnání senzorů včetně proložení naměřených hodnot lineárními funkcemi metodou nejmenších čtverců je na obrázku ??. Konstanty lineárních funkcí vyšli následovně:

$$x_{lidar} = 0.9833 x + 2.933$$

$$x_{ultras} = 1.03x - 4.347$$



Obrázek 2: Graf srovnání linearity obou senzorů

3 Senzory na nárazníku

4 Stanovení RPM lidaru

5 Srovnání

Na obrázku ?? je zobrazeno srovnání charakteristik obou NTC termistorů včetně hranic tolerancí. Z tohoto obrázku je jasné vidět, že oba termistory jsou v toleranci.

V tomto grafu naměřených hodnot lze také spatřit jisté "zuby", které byly způsobeny krátkým vyzdvihnutím skupiny senzorů z měřicí kádě. Toto vyzdvihnutí bylo iniciováno učiteli, kteří zkoumali rozpadající se konstrukci která drží senzory pohromadě.

6 Extrapolace

Extrapolace byla provedena s využitím následujícího vzorce:

$$R_{NTC}(T) = R_{REF} e^{B\left(\frac{1}{T} - \frac{1}{T_{REF}}\right)}$$

REF v tomto vzorci označuje referenční bod při teplotě $T_{REF} = 25^\circ\text{C}$. Jako R_{REF} byla zvolena hodnota $2067\ \Omega$ pro NTC_1 a $2103\ \Omega$ pro NTC_2 . Na obrázcích ?? a ?? jsou zobrazeny nalezené extrapolace pomocí matlabovské funkce *lsqcurvefit()*. Hodnoty parametrů nalezených pomocí této funkce jsou $b_1 = 3557\ \text{K}$ pro NTC_1 a $b_2 = 3580\ \text{K}$ pro NTC_2 .

7 Charakteristika senzoru EGR

7.1 Graf

Na obrázku ?? je zobrazena charakteristika neznámého senzoru. Tato charakteristika byla proložena affíní funkcí s využitím výše zmíněné matlabovské funkce *lsqcurvefit()*. Výsledná rovnice regresní křivky:

$$R_{EGR}(t) = 204 + 0.662t$$

V tomto grafu je také velice znatelný jeden ze "zubů" zmíněných v sekci ??.

7.2 Porovnání

Porovnání je....TODO

8 Obvod s NTC

TODO

9 Experiment s termočlánkem

9.1 Popis

Tento experiment má za úkol demonstrovat, že termoelektrické napětí na termočlánek vzniká podél teplotního gradientu od teplého konce až do studeného (měřeného) konce. Proto je důležité, aby celá cesta kde vzniká teplotní gradient byla z materiálů s podobnými (ideálně stejnými) termoelektrickými vlastnostmi. Nedodržení této zásady může vést k hrubým chybám v měření.

Termočlánek byl složen ze tří částí. První část byla klasický teplý konec. Ten byl spojen s druhou částí pomocí přírodních kabelů s vhodnými termoelektrickými vlastnostmi. Druhá část byla keramická kostka ze které vedly dvě dvojice kabelů. Jedna dvojice byla pokračování vhodného vedení pro nenulový teplotní gradient a druhá byla sada běžných měděných kabelů. Třetí část byla studený konec, kde byly voltmetrem měřeny zmíněné páry kabelů.

9.2 Měření

Teplý konec byl přiložen na teplou varnou desku. Samotné měření pak probíhalo ve dvou krocích. Nejdříve byla keramická kostka vystavena pokojové teplotě a bylo změřeno napětí na obou sadách výstupních kabelů. Poté byla kostka přitlačena na teplou varnou desku a opět bylo změřeno výstupní napětí. Výsledky jsou uvedeny v tabulce ???. V této tabulce lze pozorovat, že měření na zadních svorkách voltmetru je extrémně zatíženo chybou (relativní rozdíl $\approx -50\%$) při vystavení keramické kostce teplu. Měření na předních svorkách má výrazně menší relativní rozdíl ($\approx -6\%$).

9.3 Závěr

Na zadních svorkách multimetru byly pravděpodobně připojeny obyčejné měděné kabely, jelikož byl na těchto svorkách veliký rozdíl v naměřených hodnotách pro chladnou a teplou keramickou kostku. Naopak na předních svorkách byly pravděpodobně použity vhodné prodlužovací kabely a rozdíl v naměřených hodnotách nebyl tak výrazný.